

Röntgenbeugung an Kristallen v. Laue - Verfahren

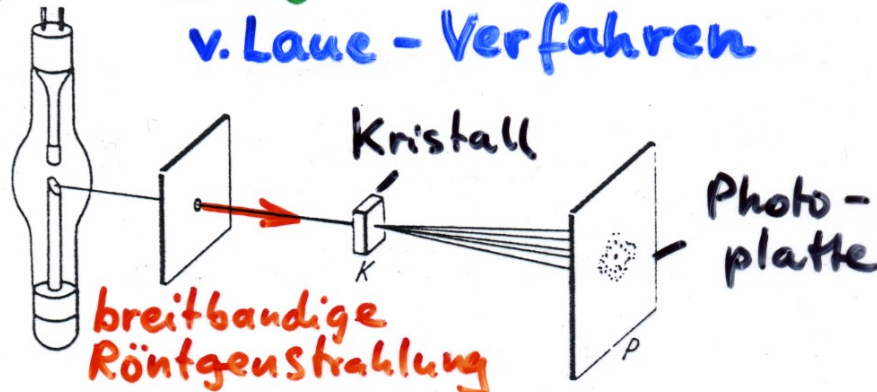


Abb. 12.30. Anordnung von v. Laue, Friedrich und Knipping zur Erzeugung von Kristallinterferenzen

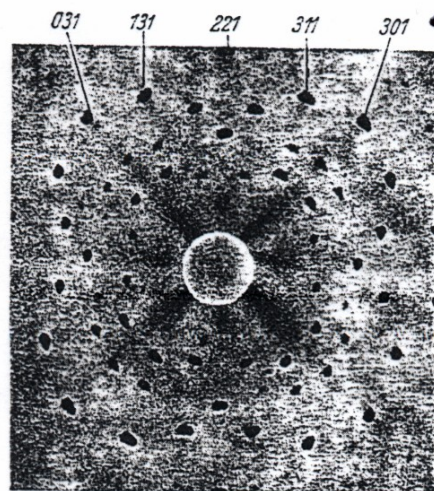


Abb. 12.31. Laue-Interferenzen mit einer parallel zur Würfelfläche gespaltenen NaCl-Kristallplatte. (Aus R. W. Pohl, Optik und Atomphysik). Die oben angegebenen Zahlentripelsind die Millerschen Indizes der Netzebenen, an denen ein passender Wellenlängenbereich reflektiert wird

Aus: Gerthsen, Physik, 13. Aufl., S. 460

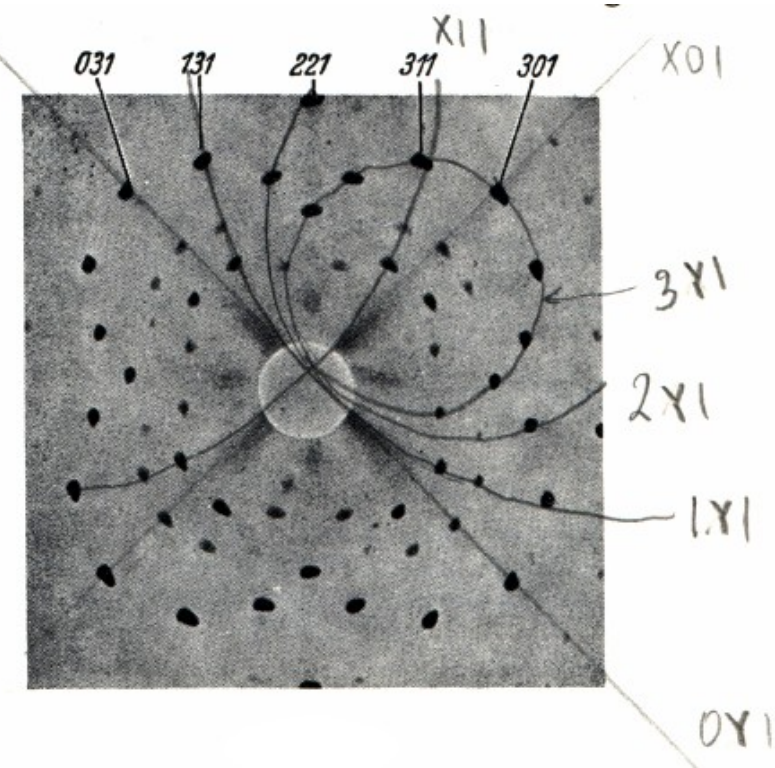


Fig. 4-4 (AW)

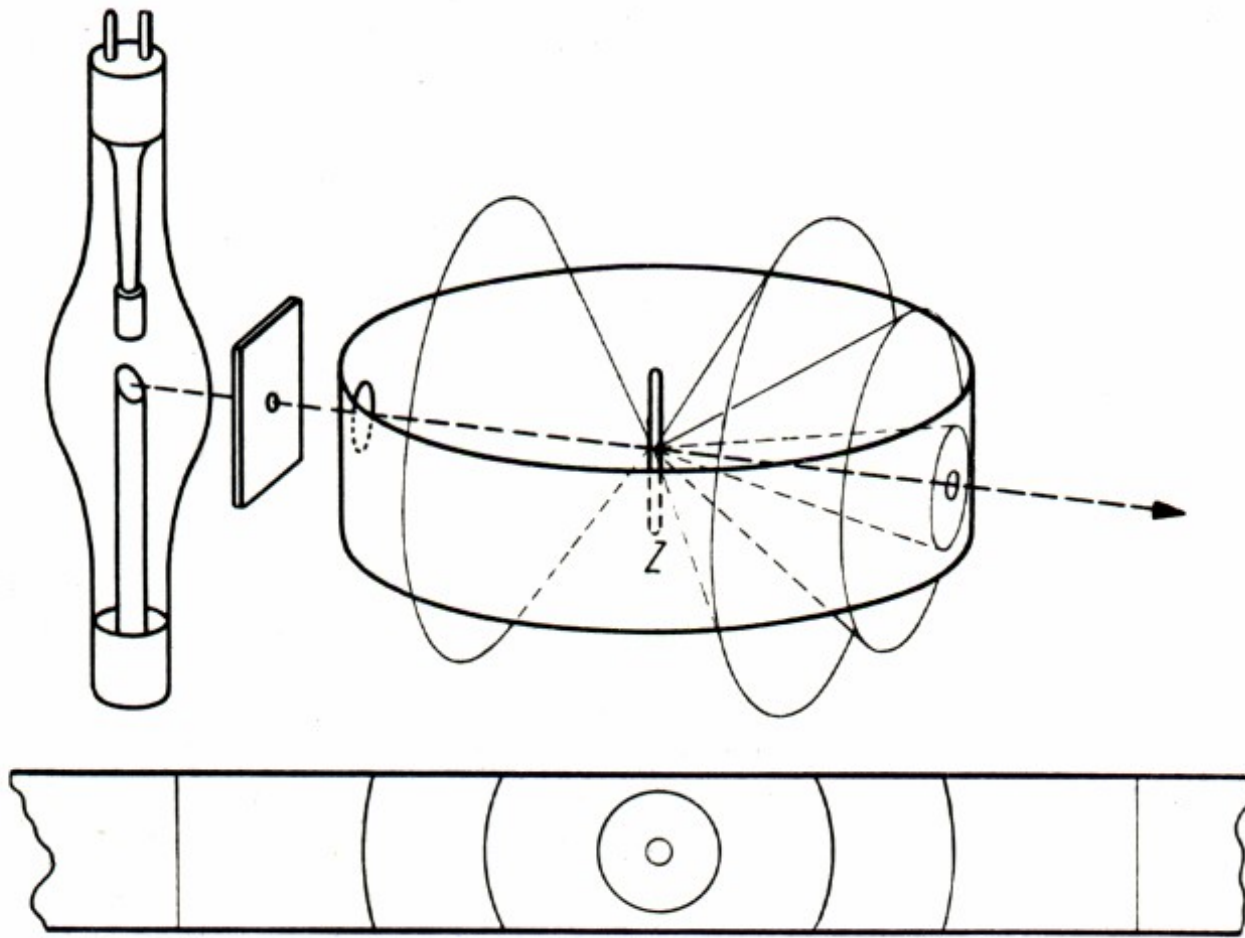


Abb. 534. Oben: Debye-Scherrer-Verfahren zur Bestimmung des Gitterbaues von Kristallen. Unten ist das Beugungsbild auf dem abgewickelten Film dargestellt

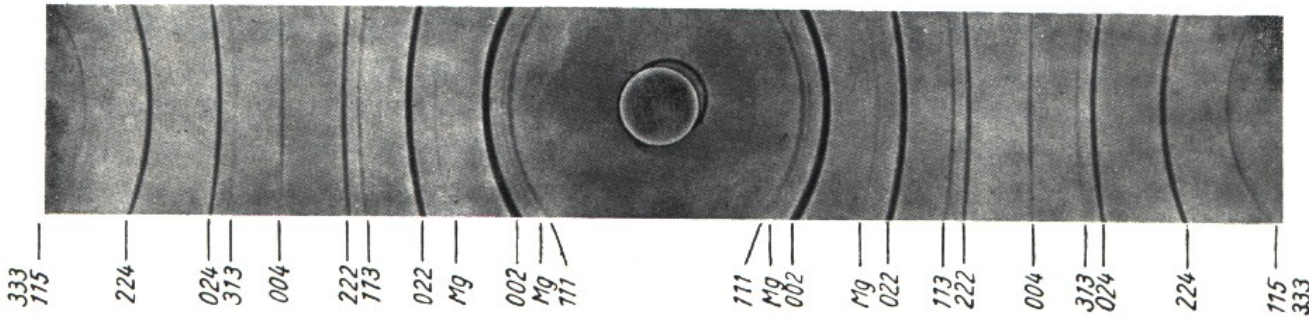


Abb. 535. Debye-Scherrer-Diagramm von MgO mit den zu den Beugungsringen gehörenden Laue-Indizes der „spiegelnden“ Netzebenen

Fig. 4-5 (AW)



FIGURE 27-13
Louis de Broglie.

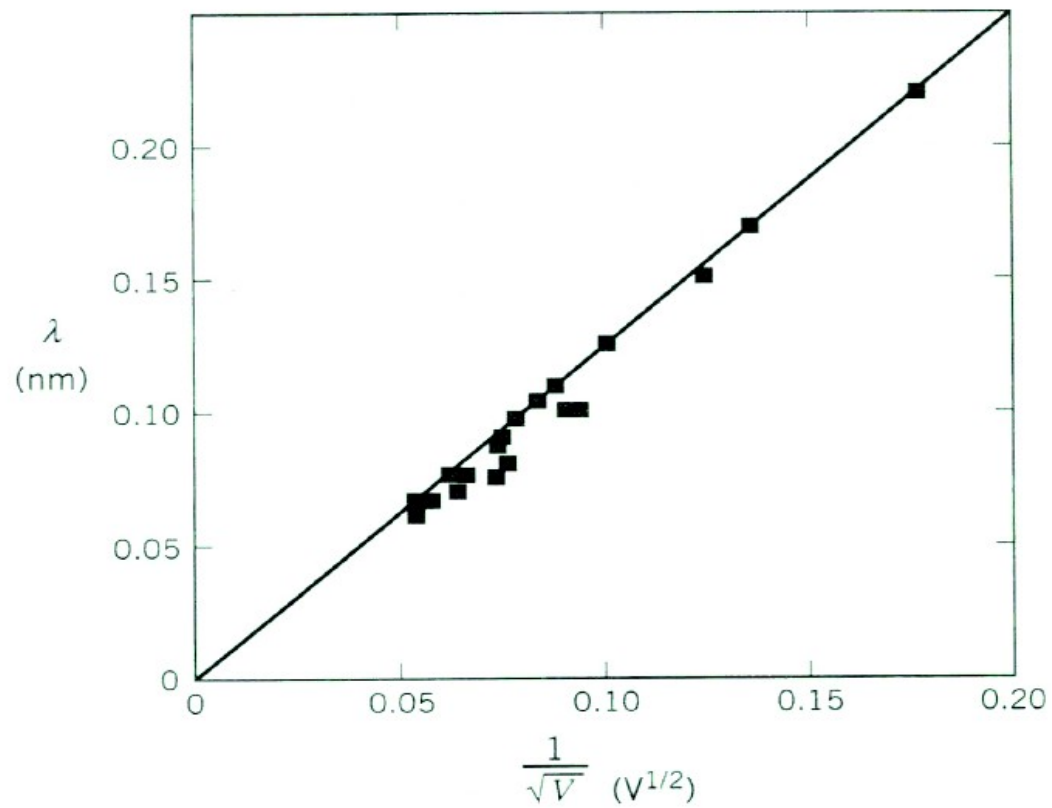
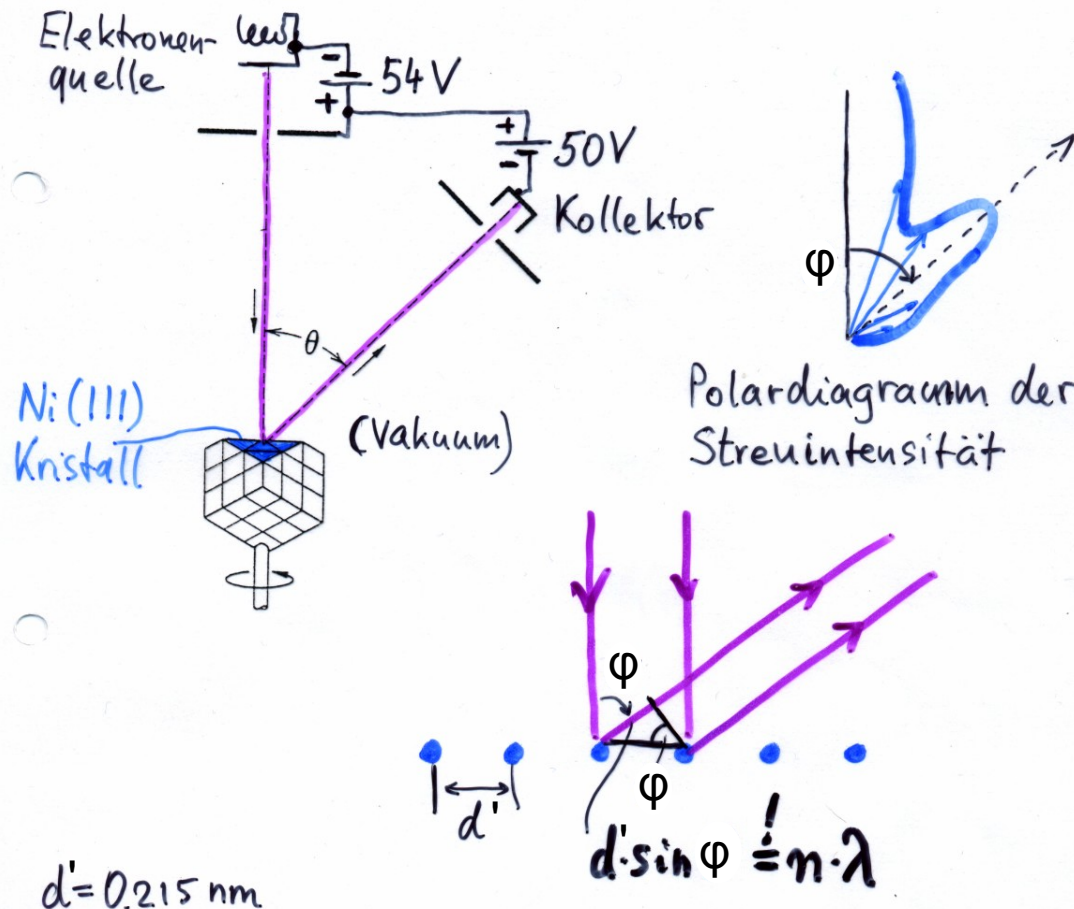


FIGURE 5-6 Testing the deBroglie equation for nonrelativistic electrons.

Interferenz von Materiewellen bei Streuung an Kristallen

Exp. von Davisson u. Germer (1927)



$$d' = 0.215 \text{ nm}$$

$$E = 54 \text{ eV} \quad \lambda_{DB} = \frac{\lambda_c}{\beta \gamma} \approx \frac{2.4 \cdot 10^{-12} \text{ m}}{0.015} = 1.65 \cdot 10^{-10} \text{ m}$$

$$(\beta = 0.015)$$

$$\sin \phi = 1 \cdot \frac{\lambda_{DB}}{d'} = 0.76 \quad \Rightarrow \quad \underline{\phi = 50^\circ} \quad \text{für erstes Beugungsmax.}$$

- Elektronen werden nur von Oberflächenatomen gestreut
- Die Beugungsbedingung entspricht Bragg mit $\theta = 90^\circ - \phi/2$ und $d = d' \sin(\phi/2)$

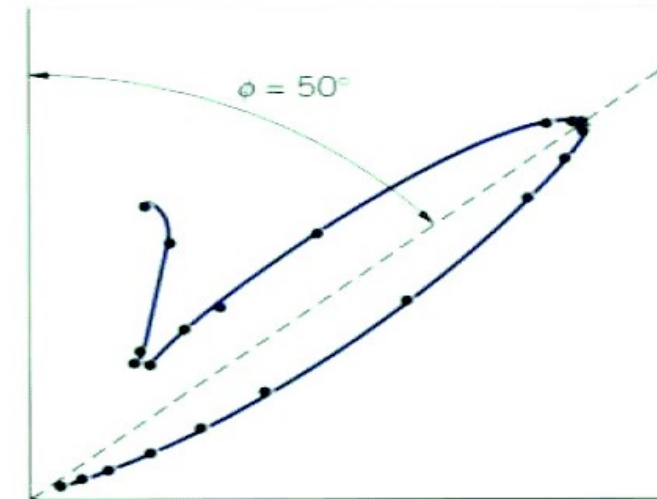


FIGURE 4.5 Results of Davisson and Germer. Each point on the plot represents the relative intensity when the detector in Figure 4.4 is located at the corresponding angle ϕ measured from the vertical axis. Constructive interference causes the intensity of the reflected beam to reach a maximum at $\phi = 50^\circ$ for $V = 54$ V.

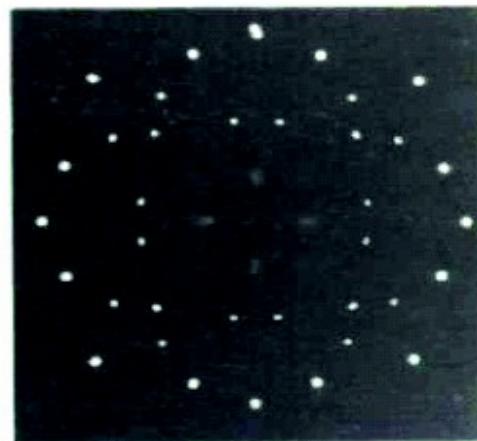
K. Krane, Modern Physics (Wiley, New York, 1996)

Fig. 4-7 (AW)

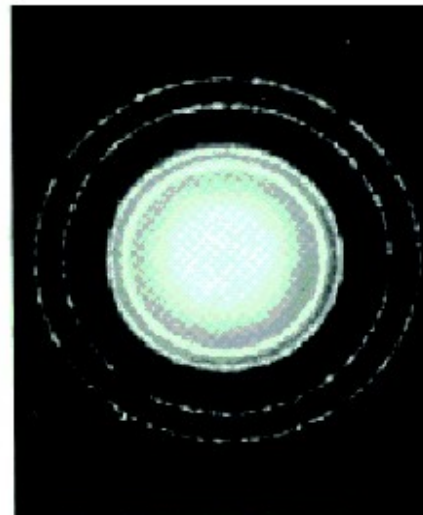
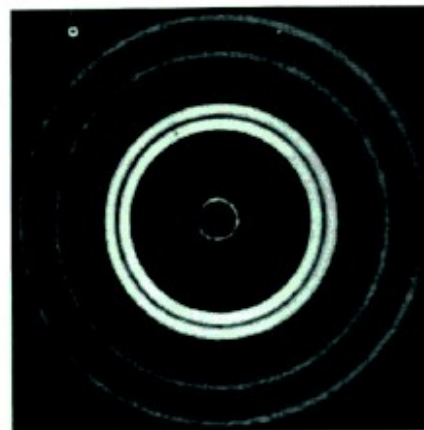
Vergleich Röntgenbeugung und Beugung von Teilchenstrahlen



(a)



(b)



The concentric ring patterns produced when a beam of X-rays (left) and a beam of electrons (right) passes through the same thin polycrystalline aluminum foil. The two diffraction patterns are almost identical.

While collaborating with L. Germer, an explosion rocked the lab, but after putting the experiment back together, it was clear that something very strange had happened: the data “completely changed.” Unbeknownst to them, while cleaning up the target through prolonged heating, the nickel sample had reformed into a few large crystals. When they subsequently directed an electron beam at the target, they saw a diffraction pattern identical to the one produced by X-rays (p. 1023), even though it’s impossible for a stream of particles to do that. Another year passed before anyone realized that Davisson and Germer had verified de Broglie’s hypothesis; Eq. (31.1) matched the data in every detail. *Electrons with comparable momenta to those of X-ray quanta are diffracted as if they were waves of the same wavelength.*

Figure 29.8 (a) The neutron diffraction pattern and (b) the X-ray diffraction pattern for a crystal of sodium chloride (NaCl).

Cutnell/Jonson ...

Fig. 4-8

Elektronenbeugung am Draht

„Fresnelsches Bi-prisma“ Düker, Möllenstedt
~1957

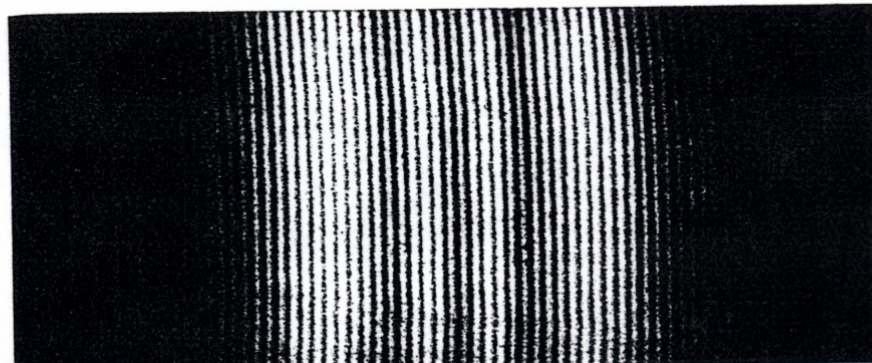
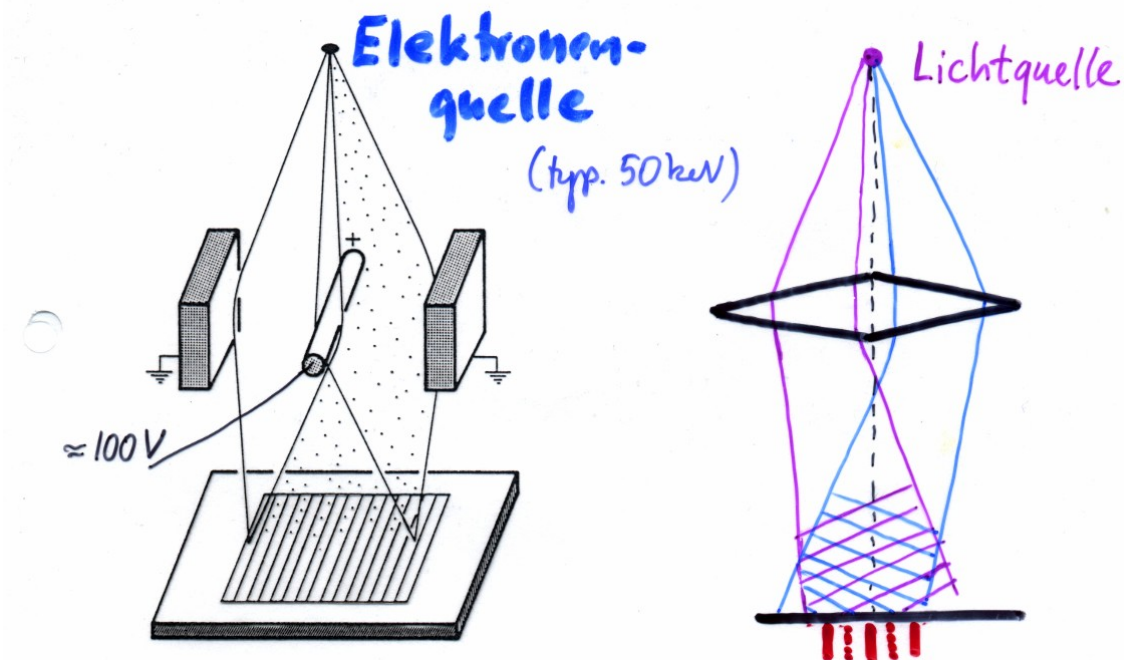


Fig. 4-9 (AW)

Doppelspaltexperiment mit neutralen Atomen

Carnal, Mlynek (1991) (Konstanz)

Mikrostruktur auf dünner Folie

Doppelspalt $D = 8 \mu\text{m}$ $d = 1 \mu\text{m}$

(angeregte, metastabile)

He-Atome

$$T \sim 300 \text{ K} \quad \lambda_{dB} = 0.056 \text{ nm}$$

$$T \sim 83 \text{ K} \quad \lambda_{dB} = 0.103 \text{ nm}$$

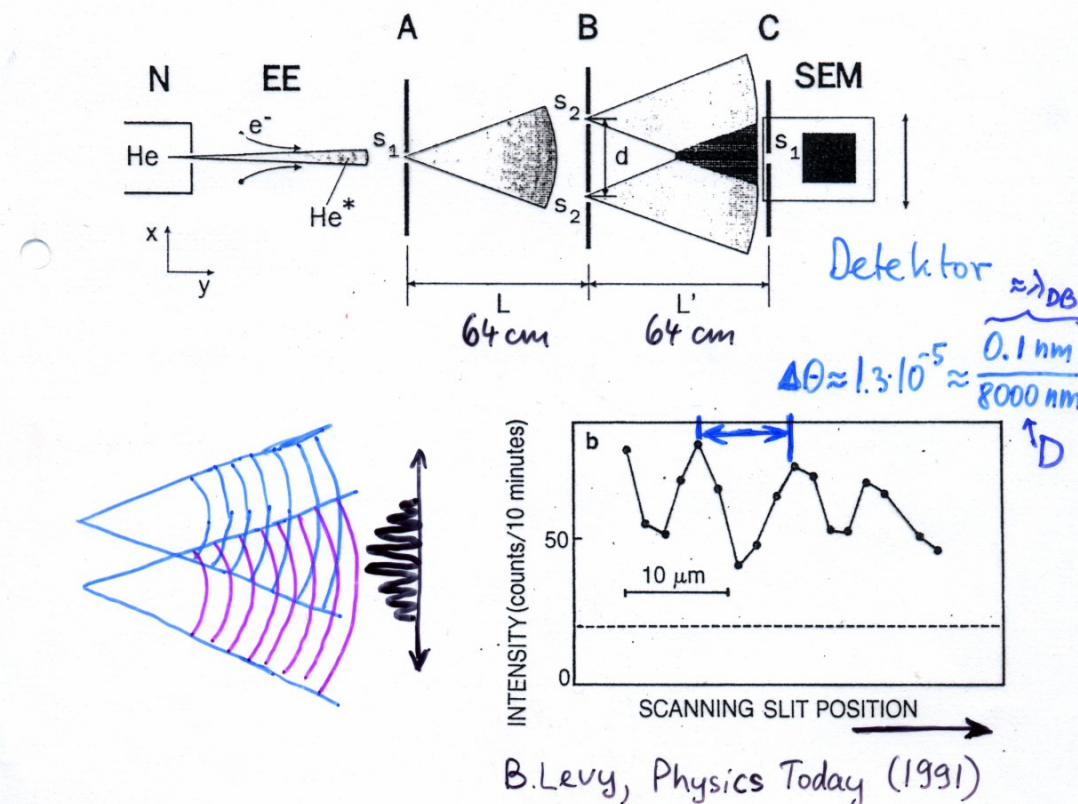
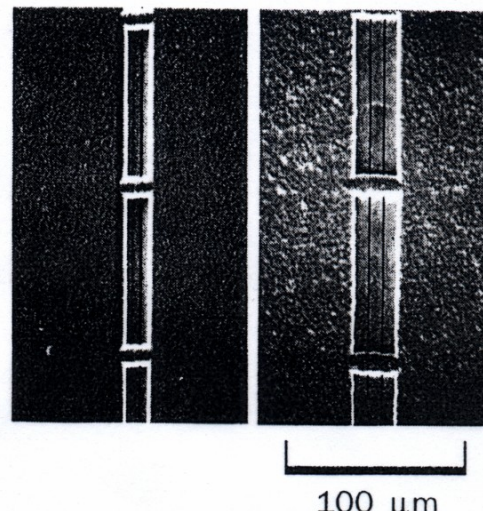


Fig. 4-10 (AW)

Na - Atom interferometer

MIT Cambridge, Mass.

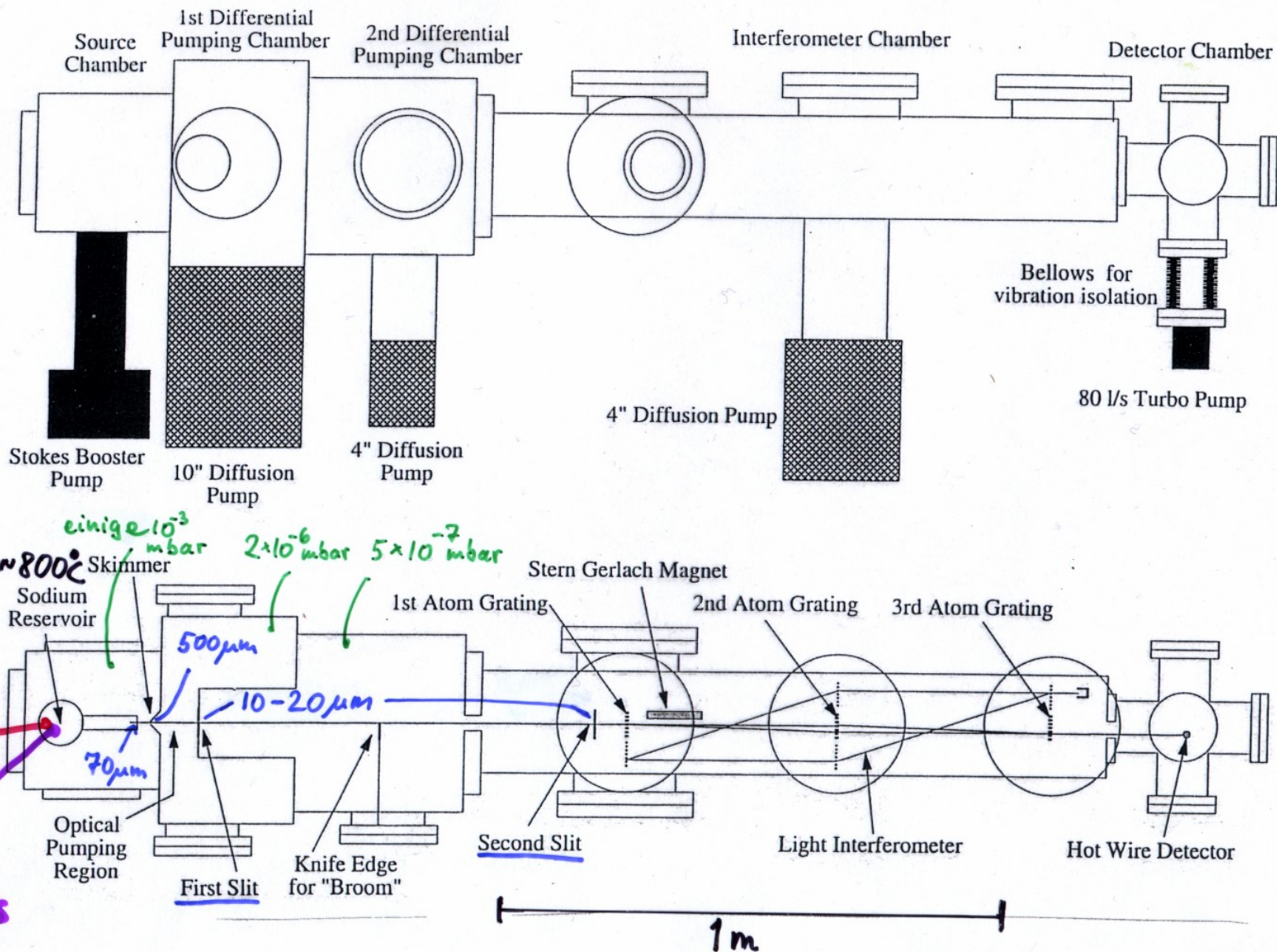


Fig. 4-11 (AW)

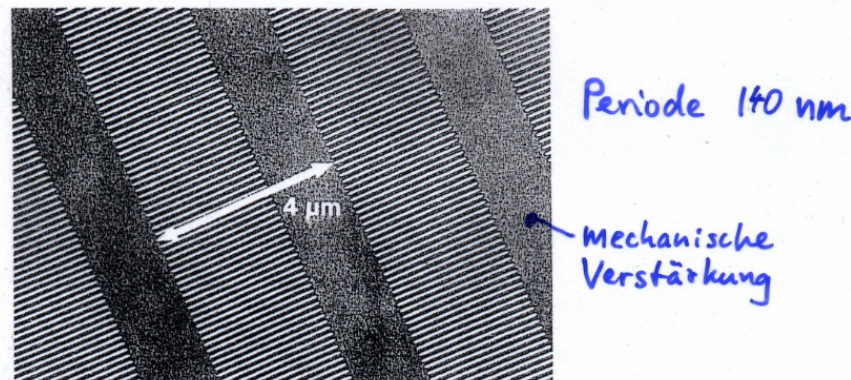
J. Schmiedmayer et al. in
 "Atom Interferometry" ed. by Paul Berman
 Acad. Press 1997

TYPICAL PARAMETERS FOR OUR Na AND Na₂ SOURCE

Seed gas Velocity (m/sec)	Kr	Ar	Ne	He
	750	1000	1700	3300
Na				
λ_{dB} (Å)	0.23	0.17	0.10	0.05
Separation (μm)	75	55	34	18
Na ₂				
λ_{dB} (Å)	0.125	0.085	0.05	0.025
Separation (μm)	38	28	17	9

for
200 nm
grating
~0.6 m
distance

Mikrofertigertes Beugungsgitter



Beugungsmuster an einem Gitter

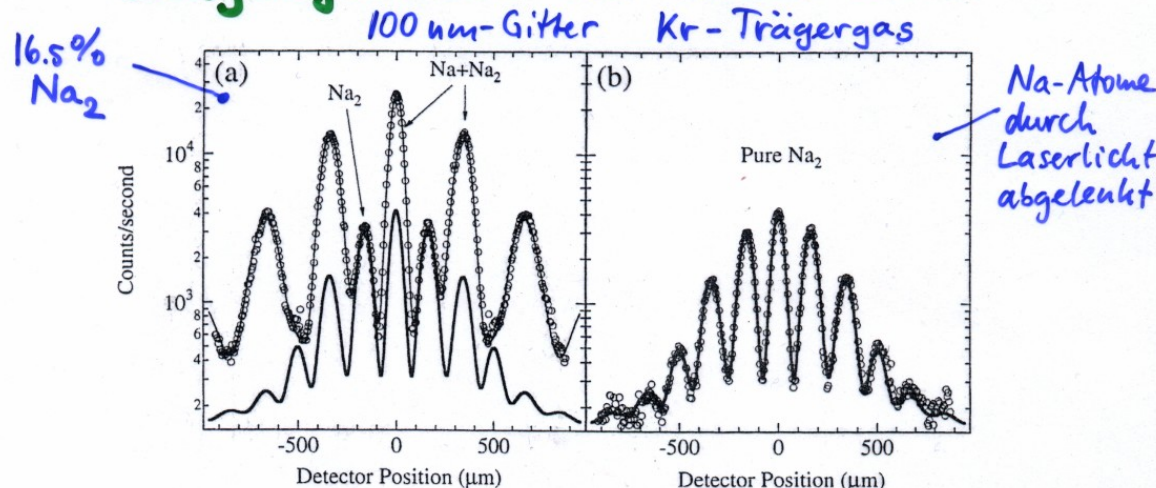
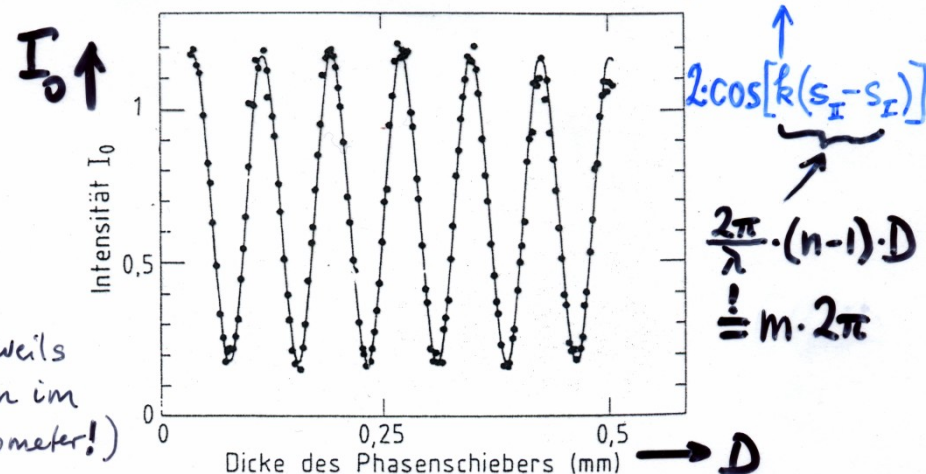
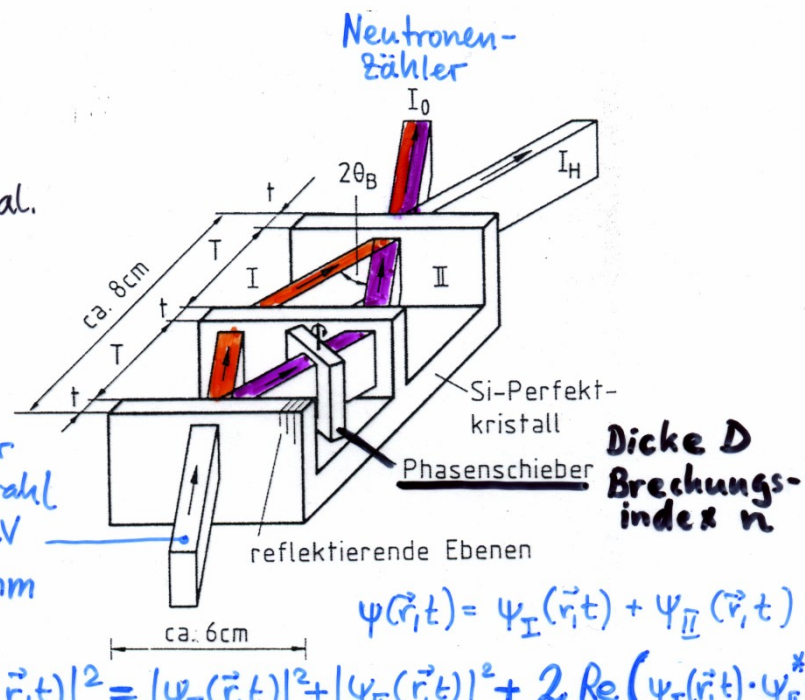


Fig. 4-12 (AW)

Neutronen-Interferometrie

J.Rauch et al.
(~1974)

thermischer
Neutronenstrahl
 $T = 0.025 \text{ eV}$
 $\lambda_{dB} \approx 0.18 \text{ nm}$



siehe z.B. Physikalische Blätter 41 (1985) 190

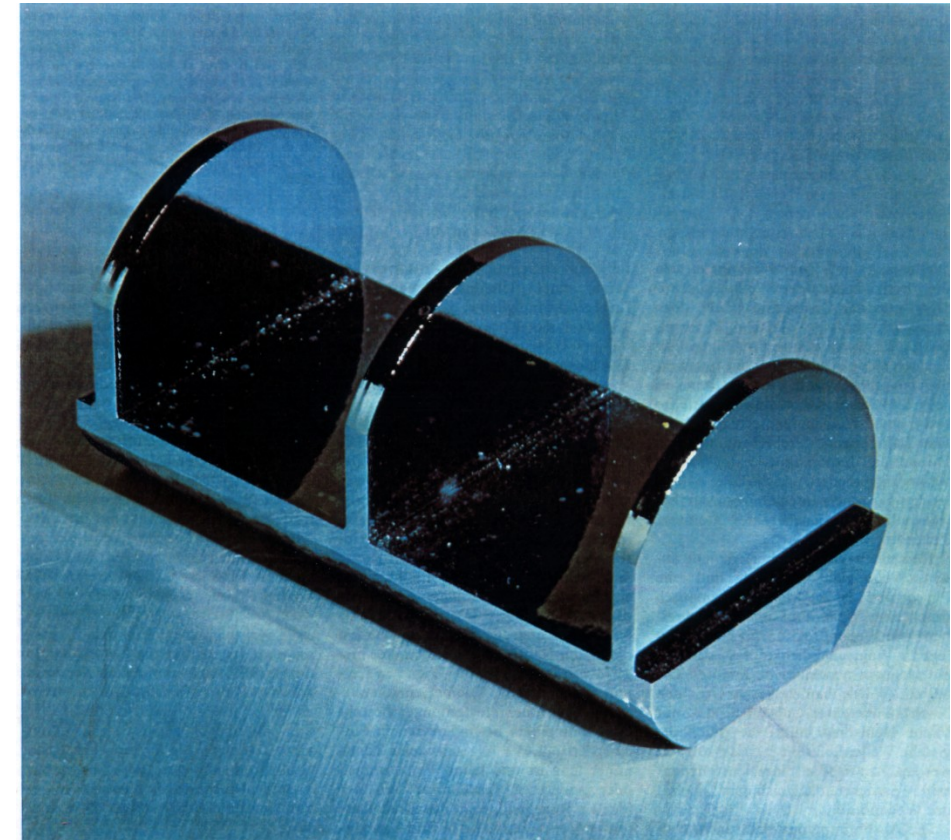
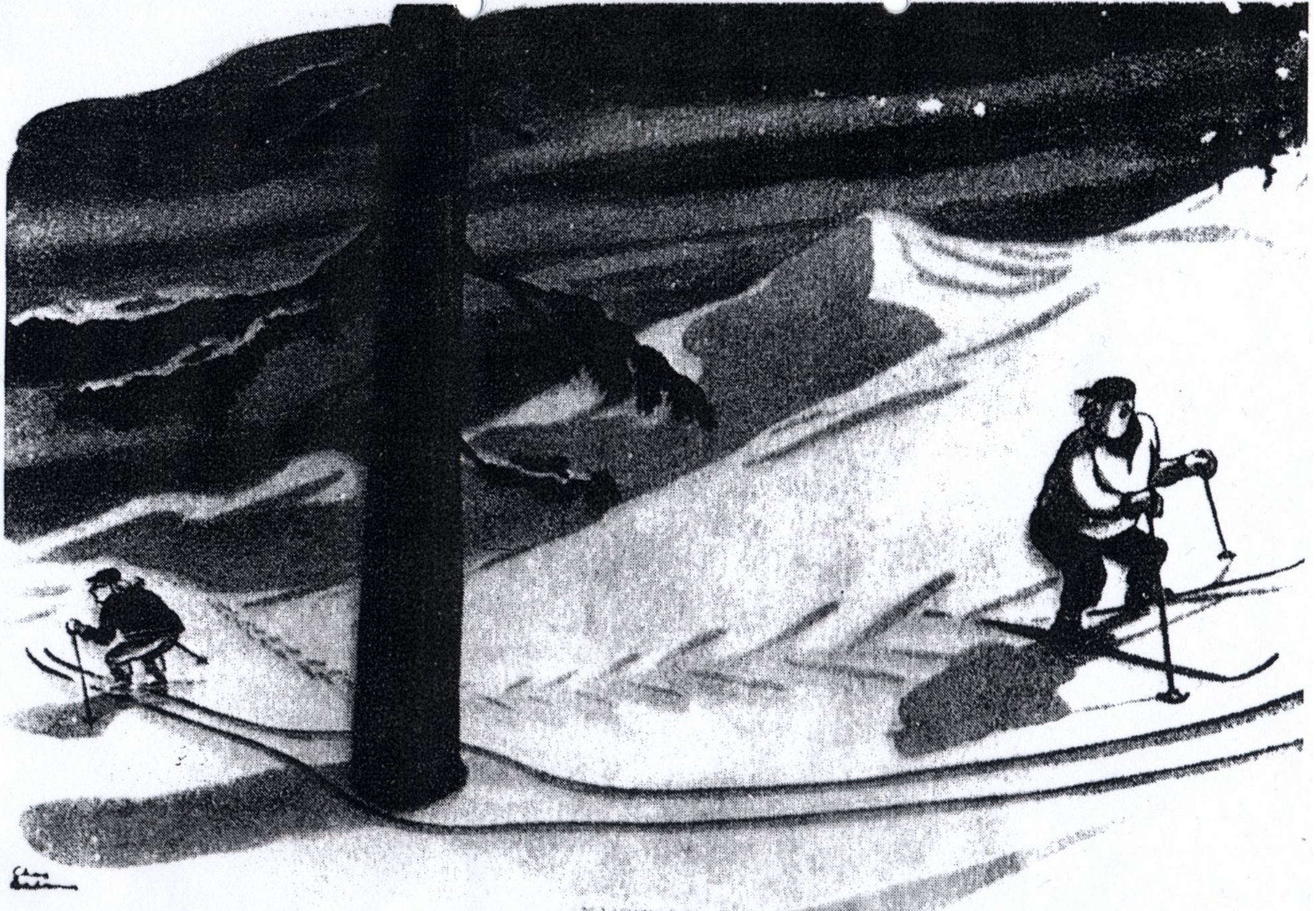


Fig. 4-13 (AW)



Interferenzvorgang. (Mit freundlicher Genehmigung durch „The New Yorker“. Zeichnung Charles Addams; © 1940, 1968 The New Yorker Magazine, Inc.)

Fig. 4-14 (AW)

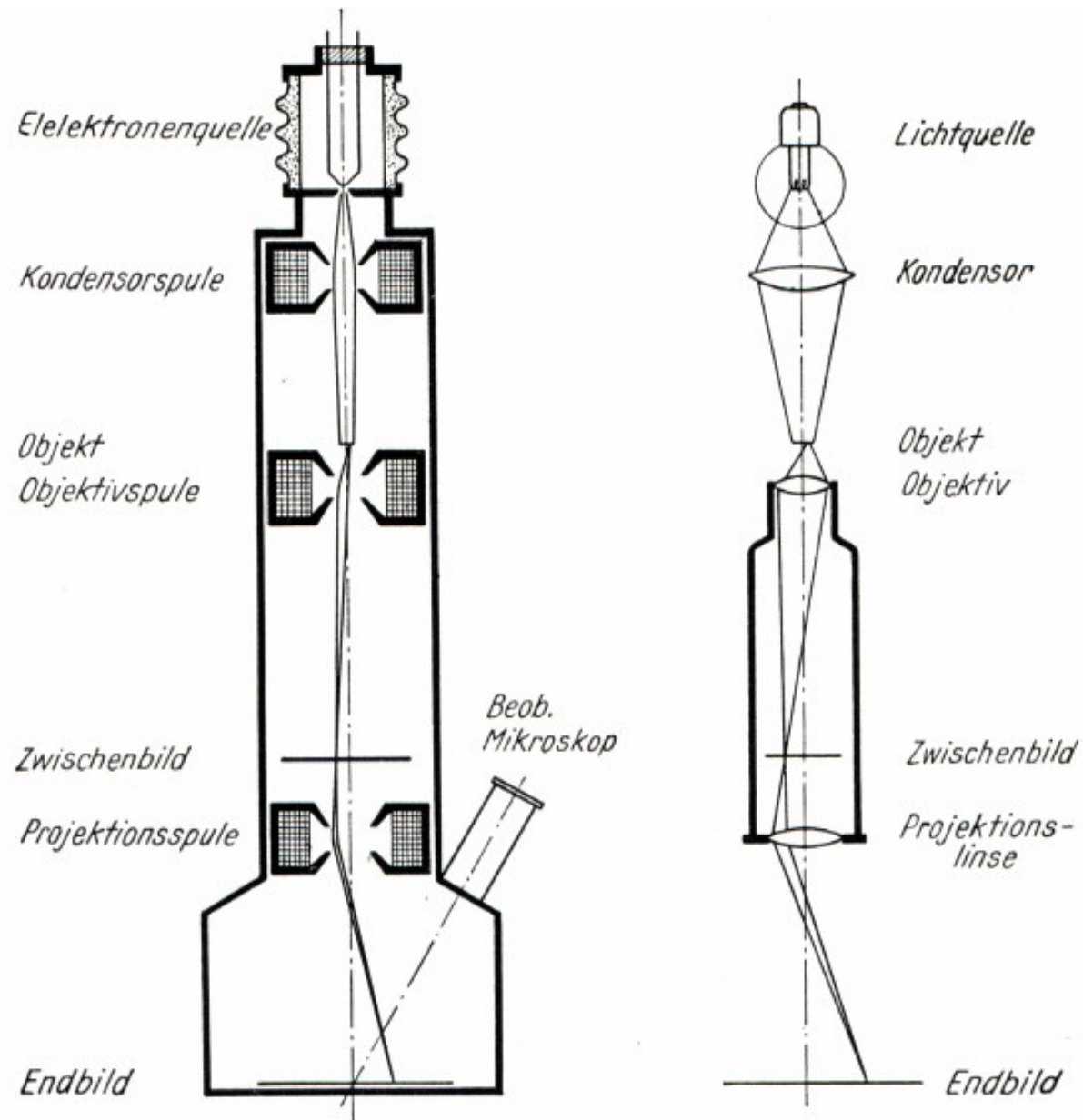


Abb. 402. Elektronenmikroskop mit magnetischen Linsen, daneben Strahlengang im optischen Projektionsmikroskop

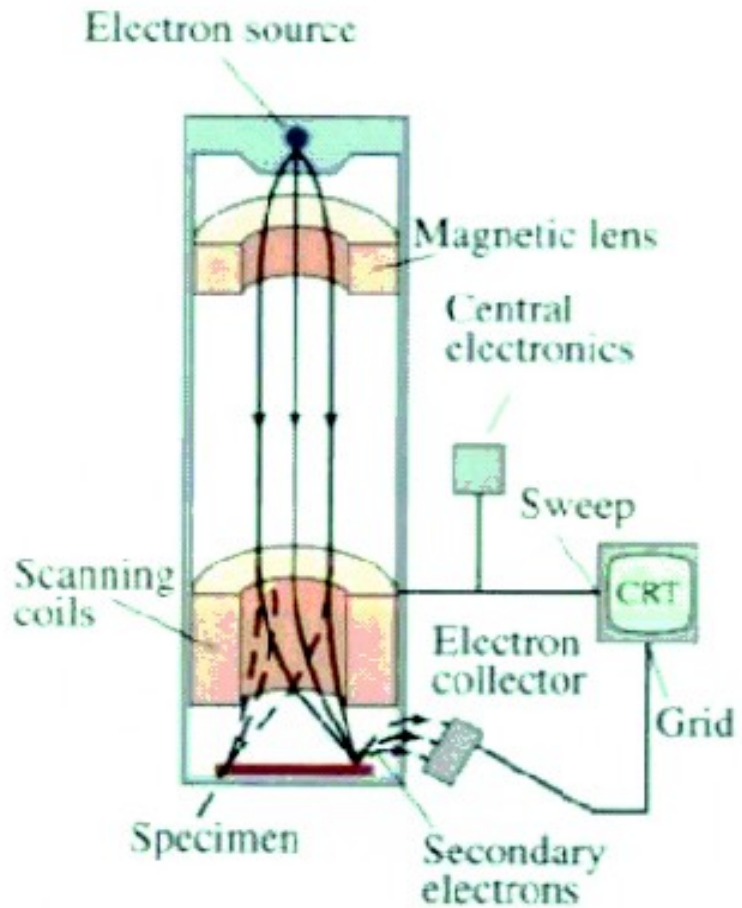
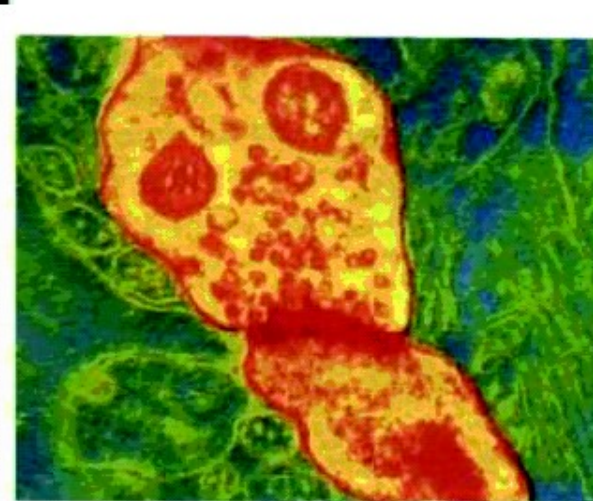
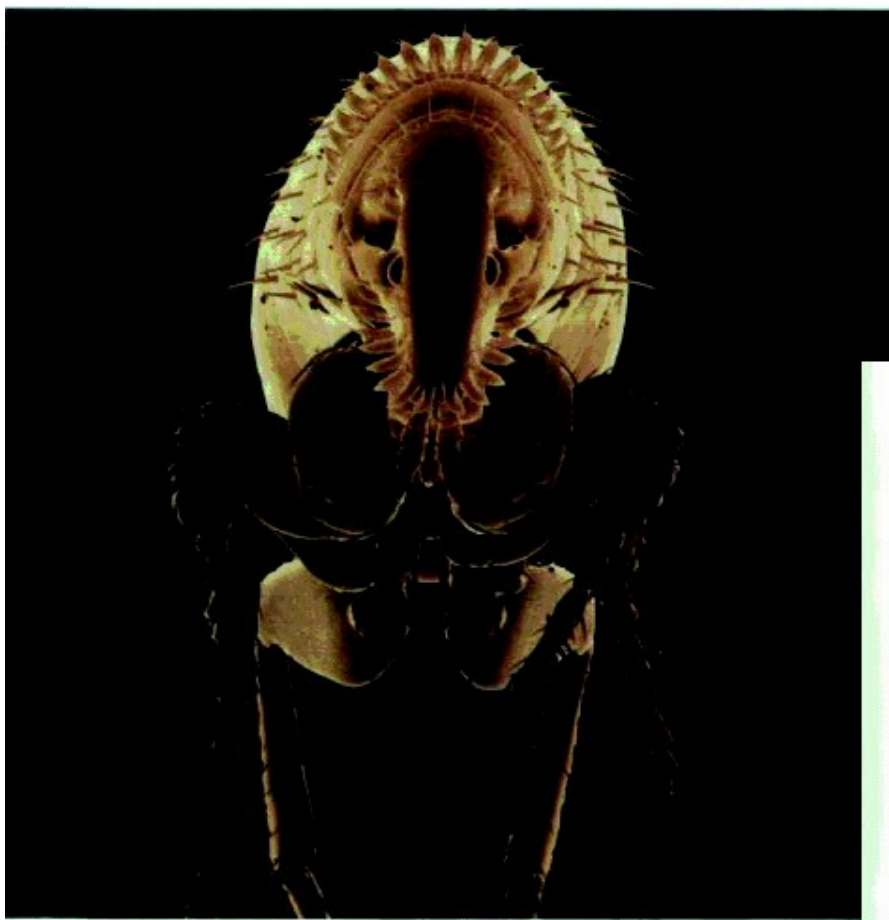
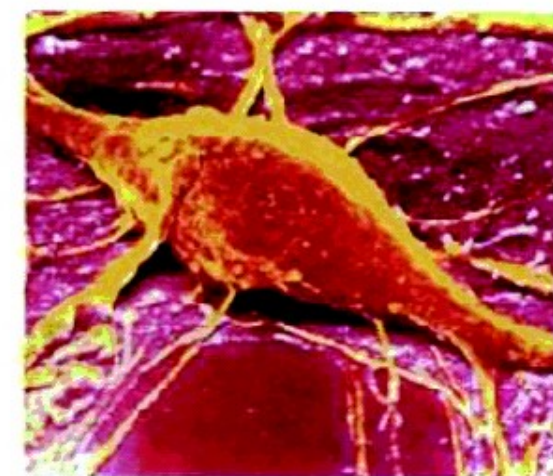


FIGURE 27-16 Scanning electron microscope. Scanning coils move an electron beam back and forth across the specimen. Secondary electrons produced when the beam strikes the specimen are collected and modulate the intensity of the beam in the CRT to produce a picture.

Aufnahmen mit dem Elektronenmikroskop



(a)



(b)

FIGURE 27-17 Electron micrographs (in false color) of neurons of the human cerebral cortex: (a) transmission electron micrograph of synapse (junction) between two neurons ($\times 40,000$); (b) scanning electron micrograph of a single neuron ($\times 30,000$).

Katzenfloh
Cutnell/Jonson ...

5.4 Schrödingergleichung - einfache Anwendungen (Fortsetzung)

Wiederholung:

$$\begin{aligned}
 & \text{- allgemein: } E = \sqrt{m_0 c^4 + p^2 c^2} + V(\vec{r}) \\
 & \qquad\qquad\qquad = m_0 c^2 \sqrt{1 + \frac{p^2 c^2}{m_0^2 c^4}} + V(\vec{r}) \\
 & \qquad\qquad\qquad \xrightarrow{\text{Nichtrelativistisch}} \underbrace{\approx m_0 c^2 + \frac{p^2}{2m_0}}_{E_{kin} + E_{pot}} + V(\vec{r})
 \end{aligned}$$

$$\begin{aligned}
 & \text{Übergang: } m_0 \rightarrow m \\
 & \qquad\qquad\qquad E \rightarrow E_{kin} + E_{pot}
 \end{aligned}$$

$$\Rightarrow E = \frac{p^2}{2m} + V(\vec{r})$$

Materiewellen:

$$\begin{aligned}
 & \text{bisher ebene Welle} \\
 & \Psi(\vec{r}, t) = e^{i(\vec{k}\vec{r} - \omega t)}
 \end{aligned}$$

Annahme: Teilchen bewegt sich mit
 $E = E_{kin} + E_{pot} = \text{const.}$ durch ein räumliches
 Potential - "Gefilde" $\Rightarrow E = \hbar\omega = \text{const.}$

$$\Psi(\vec{r}, t) = e^{-i\omega t} \cdot \psi(\vec{r})$$

Ebene Welle: $\psi(\vec{r}) = e^{ik\vec{k}\vec{r}}$

eine Richtung $\psi(x) = e^{ikx}$

Ableitung $\frac{\partial}{\partial x} e^{ikx} = ik e^{ikx}$

$$\frac{\partial^2}{\partial x^2} e^{ikx} = -k^2 e^{ikx}$$

$$\Rightarrow p = \hbar k \rightarrow \frac{\hbar}{i} \frac{\partial}{\partial x}$$

$$p^2 = \hbar^2 k^2 \rightarrow -\hbar^2 \frac{\partial^2}{\partial x^2}$$

Wellengleichg.

$$\Rightarrow -\frac{\hbar^2}{2m} \frac{d^2 \Psi}{dx^2} + V(\vec{r}) \cdot \Psi = E \cdot \Psi \quad || \quad \frac{d^2 \Psi}{dx^2} = -\frac{2m}{\hbar^2} (E - V) \Psi$$

Ψ ebene Welle $\Rightarrow -\frac{\hbar^2}{2m} k^2 = -\frac{2m}{\hbar^2} (E - V)$

$$\Rightarrow k = \pm \sqrt{\frac{2m}{\hbar^2} (E - V)}$$

Wenn $V(x) = \text{const.}$

$$\text{Materiewelle } \lambda_{dB} = \frac{2\pi}{k} = \frac{2\pi}{\sqrt{\frac{2m}{\hbar^2}(E-V)}}$$

Potentialänderung langsam gegen λ_{dB}

\Rightarrow „fast“ ebene Welle

\Rightarrow „fast“ klassische Bewegung

+ Materiewellen-Eigenschaft
z.B. Sc. Interferenz.

(entspricht Beispiel a): „freies“ Teilchen)

$$\text{Lösung: } \psi(x) = e^{ikx}$$

$$\text{mit } k = \pm \sqrt{\frac{2m}{\hbar^2}(E-V)}$$

Wellengleichung erfüllt?

$$-\frac{\hbar^2}{2m} \frac{d^2\psi}{dx^2} = (E-V)\psi$$

Mit $V=\text{const.}$:

Für $E-V > 0$ immer Welle

$$\psi(x) = C_1 e^{ikx} + C_2 e^{-ikx}$$

Fester Impuls $p = \hbar k \Rightarrow \psi(x) = C e^{ikx}$

$$(\text{Richtung gesetzt}) \quad |\psi(x)|^2 = |C|^2$$

Für $E-V < 0$ $k = ik$ mit $k = \pm \sqrt{\frac{2m(V-E)}{\hbar^2}}$

statt Welle findet man

$$\Psi(x) = C_1 e^{kx} + C_2 e^{-kx}$$

Bedingungen an die Wellenfunktion:

$$\Psi(x) \text{ und } \Psi'(x) \text{ stetig; } \int_{-\infty}^{\infty} |\Psi(x)|^2 dx = 1 \quad (P(x) = |\Psi(x)|^2)$$

b) Teilchen zwischen Potentialwänden

$$V=0 \text{ für } x=0 \dots L \quad \text{II}$$

$$V=+\infty \text{ für } x < 0 \quad \text{I} \\ x > L \quad \text{III}$$

Drei Bereiche, an den Bereichsgrenzen
muss $\Psi(x)$ (und im endlichen Potential
 $\Psi'(x)$) stetig sein.

$$\Psi(0) = C_1 + C_2 = 0$$

$$\Psi(L) = C_1 e^{i k L} + C_2 e^{-i k L} = 0$$

\Rightarrow Lösung hat die Form $\Psi(x) = C(e^{i k x} - e^{-i k x})$

$$\Psi(x) = A \sin kx$$

$$\text{mit } \sin kL = 0 \Rightarrow kL = \pm n\pi$$

$$n=1, 2, 3$$

Also ist $k = \pm \frac{n\pi}{L}$

d.h. $p_n = \hbar k = \pm n \cdot \frac{\hbar\pi}{L}$ (+ hin laufend,
- zurück laufend)

Energie $E_n - V = \frac{p_n^2}{2m}$ mit $V=0$

$$\Rightarrow E_n = \frac{n^2 \hbar^2 \pi^2}{2m L^2} = \frac{n^2 \hbar^2}{8m L^2}$$

Außerdem

$$\begin{aligned} P &= \int_{-\infty}^{\infty} |\psi|^2 dx = |A|^2 \int_0^L \sin^2\left(\frac{n\pi x}{L}\right) dx \\ &= |A|^2 \cdot \frac{L}{2} \Rightarrow A = \sqrt{\frac{L}{2}} \\ &\quad (\text{man kann } A \text{ reell positiv wählen}) \end{aligned}$$

Dennach:

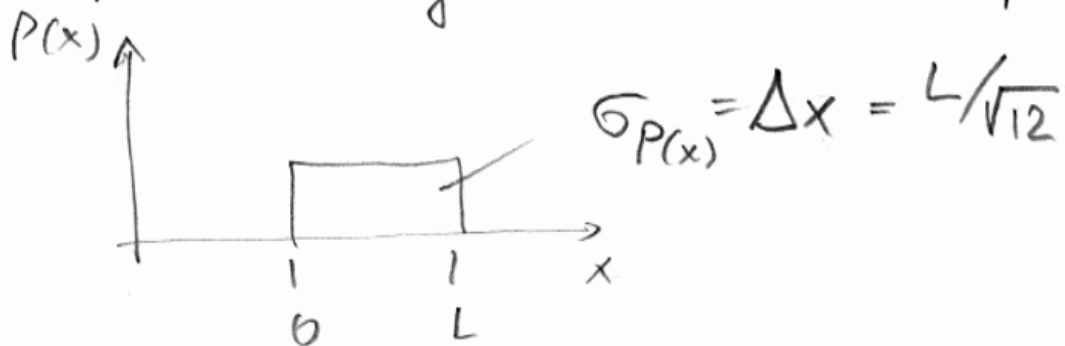
Eigenzustand n mit $E_n = \frac{n^2 \hbar^2}{8m L^2}$ mit $n=1, 2, 3$

und $\psi_n(x) = \sqrt{\frac{L}{2}} \sin \frac{n\pi x}{L}$

$$\Psi_n(x, t) = e^{-i \frac{E_n}{\hbar} t} \cdot \underbrace{\sqrt{\frac{L}{2}} \sin \frac{n\pi x}{L}}_{\psi_n(x)}$$

Muschärferelation

Abschätzung der Ortsunscharfe (groß)



Impuls: $E_1 = \frac{h^2}{8mL^2} =$

$$\Rightarrow \Delta p \approx \sqrt{2mE_1} = \sqrt{\frac{h^2}{4L^2}} = \frac{h}{2L}$$

$$\Rightarrow \Delta x \cdot \Delta p = \frac{L}{\sqrt{12}} \cdot \frac{h}{2L} = \frac{2\pi h}{2\sqrt{12}L} = \frac{\pi h}{2\sqrt{3}L} > \frac{h}{2}$$

Bemerkung:

Für $n=1$ zeigt die Simulation einen einzelnen verträglichen Peak der p -Verteilung, nicht zwei Delta-Peaks. $\psi(p)$ ist die Fouriertransformierte von $\psi(x)$, und da die sin-Funktion in $\psi(x)$ abgeschnitten ist, ist die Fouriertransf.-verträgert. Also: $p = \pm \sqrt{2mE_1}$ ist ebenfalls eine grobe Annahme.

c) Der endlich hohe Kasten und weitere Stufenpotenzial

$$V=0 \text{ für } x=0 \dots L \quad \text{III}$$

$$\begin{array}{ll} V=V_0 & \text{für } x < 0 \\ & x > L \end{array} \quad \begin{array}{c} \text{I} \\ \text{II} \end{array}$$

Man hat drei Lösungen (Deutriöder Aufs. III)

$$\text{I} \quad \psi(x) = A_1 e^{kx} \quad 4,5$$

$$\text{II} \quad \psi(x) = A_2 \sin(kx + \varphi) \quad k = \sqrt{\frac{2m}{\hbar^2} E}$$

$$\text{III} \quad \psi(x) = A_3 e^{-kx} \quad \kappa = \sqrt{\frac{2m}{\hbar^2} (V - E)}$$

und aus den Stetigkeitsbedingungen erhält man erlaubte k -Werte als Lösungen von

$$k_n = \frac{\kappa}{\tan \frac{1}{2}(n\pi - k_n L)}$$

Es gibt nur einige Lösungen (endliche Zahl von Eigenzuständen), vor allen $E_n \approx V_0$ ist gefür ∞ hohem Kasten modifiziert. Sonst ähnlich (Computer).

Computer Simulationen <http://www.falstad.com/>

hier: qm1d - Kasten unendlich hoch

 - Kasten endlich

 - Ausblick auf harmon. Oszilat.

d) harmonischer Oszillator

$$V(x) = \frac{K}{2}x^2$$

Klassisch: Schwingungsfrequenz

$$\omega_0 = \sqrt{K/m} \quad (K=m\omega_0^2)$$

Schrödingergleichg

$$\frac{d^2\psi}{dx^2} = -\frac{2m}{\hbar^2} \left(E - \frac{K}{2}x^2 \right) \psi$$

Ausatz $\psi(x) = A e^{-ax^2}$

$$\frac{d\psi}{dx} = -2ax(A e^{-ax^2})$$

$$\begin{aligned} \frac{d^2\psi}{dx^2} &= 4a^2x^2(A e^{-ax^2}) - 2a(A e^{-ax^2}) \\ &= (-2a + 4a^2x^2)\psi \end{aligned}$$

$$4a^2 = \frac{m}{\hbar^2} K \Rightarrow a = \frac{\sqrt{mK}}{2\hbar} = \frac{m\omega_0}{2\hbar}$$

und $a = \frac{m}{\hbar^2} E \Rightarrow E = \frac{1}{2}\hbar\omega_0$

$$-\frac{m\omega_0}{2\hbar}x^2$$

mit $\psi(x) = A e^{-ax^2}$

Das ist eine Gauß-Funktion,

$$\text{Normiert: } A^2 \int_{-\infty}^{\infty} e^{-2ax^2} dx = \sqrt{\frac{\pi}{2a}} \cdot A^2 = 1$$

$$\uparrow \quad (\psi(x))^2 \quad \Rightarrow A = \left(\frac{2a}{\pi}\right)^{1/4}$$

$$= \left(\frac{m\omega_0}{\pi\hbar}\right)^{1/4}$$

Es ist der tiefste erlaubte

Eigenzustand $\psi_0 = \left(\frac{m\omega_0}{\pi\hbar}\right)^{1/4} e^{-\frac{m\omega_0}{2\hbar}x^2}$

Beispiele: Schwingung von Atomen um
eine gleichgewichtslage, z.B. im Kristall
oder Molekül. Energie liegt um

$$E_0 = \frac{1}{2}\hbar\omega$$

oberhalb der Ruheenergie; Orte variieren
statistisch entsprechend der Wellen-
funktion $\psi(x)$ (Schwingsungsphase
undefiniert!).

Weitere Eigenzustände

$$\psi_n(x) = A f_n(x) e^{-\alpha x^2}$$

mit $f_n(x) = \sqrt{2^n n!} H_n\left(\frac{m\omega_0}{\hbar}x\right)$

$$H_{n+2}(\xi) = 2\xi H_{n+1}(\xi) - 2(n+1)H_n(\xi)$$

$$H_0=1 \quad H_1=2\xi$$

$$\Rightarrow E_n = \hbar\omega_0\left(n + \frac{1}{2}\right)$$

n	$H =$	
0	$H = 1$	$\frac{1}{2}\hbar\omega_0$
1	$H = 2\xi$	$\frac{3}{2}\hbar\omega_0$
2	$H = 4\xi^2 - 2$	$\frac{5}{2}\hbar\omega_0$
3	$H = 8\xi^3 - 12\xi$	$\frac{7}{2}\hbar\omega_0$

Muschärfe im Grundzustand $25^2 = \frac{1}{a}$

Ortsfunktion $\psi : \sigma_{4(0)} = \sqrt{\frac{1}{2a}} = \sqrt{\frac{\hbar}{m\omega_0}}$

$$|\psi|^2 : \sigma_{P(x)} = \sqrt{\frac{\hbar}{2m\omega_0}}$$

Impuls

$$\psi_k : \sigma_{4(k)} = \sqrt{2a} = \sqrt{\frac{m\omega_0}{\hbar}}$$

$$|\psi_k|^2 : \sigma_{P(k)} = \frac{\sigma_k}{\sqrt{2}} = \sqrt{\frac{m\omega_0}{2\hbar}}$$

$$|\psi_p|^2 : \sigma_{P(p)} = \hbar \sqrt{\frac{m\omega_0}{2\hbar}}$$

$$\sigma_{P(x)} \cdot \sigma_{P(p)} = \frac{\hbar}{2} \Rightarrow \underline{\text{minimale Muschärfe}}$$